# Стенд исследований дисперсности газовой фазы в потоке газожидкостной смеси по длине электроцентробежного насоса

РГУ нефти и газа (НИУ) имени И.М. Губкина. Москва. Россия goridko.ka@gubkin.ru

#### Аннотация

В работе представлена схема нового стенда для исследований характеристик погружного электроцентробежного насоса на газожидкостных смесях с учетом распределения давления и дисперсности газовой фазы по длине насоса, описана методика проведения экспериментальных исследований. Разработана оригинальная конструкция мотор-весов для измерения мощности на валу электроцентробежного насоса.

#### Материалы и методы

### Физическое моделирование работы погружного электроцентробежного насоса на газожидкостных смесях, схема стенда и методика исследований.

#### Ключевые слова

газожидкостная смесь, погружной электроцентробежный насос,

Автор выражает благодарность своему научному руководителю Вербицкому В.С. за помощь в проектировании и создании стенда, доценту кафедры разработки и эксплуатации нефтяных месторождений Игревскому Л.В. за помощь в проектировании электрической схемы и автоматизации стенда, а также аспиранту кафедры разработки и эксплуатации нефтяных месторождений Никонову Е.И. за помощь в проведении монтажных работ.

### Для цитирования

Горидько К.А. Стенд исследований дисперсности газовой фазы в потоке газожидкостной смеси по длине электроцентробежного насоса // Экспозиция Нефть Газ. 2020. № 6. С. \*\*-\*\*. DOI: 10.24411/2076-6785-2020-10106

Поступила в редакцию: 02.09.2020

#### MINING

UDC 622.276 + 621.65/621.69 | Original Paper

# The bench for studying gas phase dispersion in gas-liquid mixture flow along the length of electric submersible pump

### Goridko K.A.

Gubkin University, Petroleum Reservoir and Production Engineering Department, Moscow, Russia goridko.ka@gubkin.ru

The paper presents a scheme of a new bench to study the characteristics of electric submersible pump on gas-liquid mixtures, taking into account the distribution of pressure and gas phase dispersion along the pump length, describes the methods of experimental studies. The original design of the motor-weights for measuring the power on the electric submersible pump shaft is developed.

## Materials and methods

Physical modelling of the electric submersible pump operation on gasliquid mixtures, scheme of the bench and study procedures.

### Keywords

gas-liquid mixture, electric submersible pump, bench

Goridko K.A. The bench for studying gas phase dispersion in gas-liquid mixture flow along the length of electric submersible pump. Exposition Oil Gas, 2020, issue 6, P. \*\*-\*\*. (In Russ). DOI: 10.24411/2076-6785-2020-10106

Received: 02.09.2020

# Введение

различными факторами, одним из них явля- характеристики ПЭЦН зависит от давления с учетом деформации характеристики погружного электроцентробежного насоса натяжения на границе фаз жидкости и газа, ный расчет ПЭЦН для скважины влечет за (ПЭЦН) подвергается вредному влиянию дисперсности газовой фазы в потоке, а так- собой технологические и экономические свободного газа, а именно одновременно же частоты вращения вала насоса.

снижаются подача насоса по жидкости,

Эксплуатация скважин установками развиваемый напор и коэффициент полез- стоит задача проектирования оптимальэлектроцентробежных насосов осложнена ного действия (КПД). Степень деформации ного дизайна скважинного оборудования, ется наличие свободного газа в добываемой на входе в насос, доли свободного газа в ПЭЦН и прогнозирования технологическопродукции. Как известно, характеристика добываемой продукции, поверхностного го режима работы скважины. Неправиль-

Таким образом, перед инженерами

Лля определения коэффициентов деформации характеристики ПЭЦН по напору и полаче различными исследователями используются два основных подхода: физическое и математическое моделирование.

Физическое моделирование — экспериментальное определение характеристики ПЭПН на газожилкостной смеси (ГЖС) в большинстве случаев проводится на стендах, так как позволяет охватить более широкий диапазон работы насоса [1]. Но термобарические условия и перекачиваемая смесь отличаются от скважинных. Иногда исследования характеристик ПЭЦН проводятся в скважинных условиях, что позволяет соблюсти термобарические условия и РVТ-свойства. Но такие эксперименты получаются в узком диапазоне, так как регулирование работы насоса, а также контроль граничных условий осложнены совместной работой системы: «пласт – скважина - насос» [2].

Математическое моделирование позволяет покрыть наиболее широкий диапазон условий работы насоса как по технологическим параметрам работы, так и по свойствам перекачиваемого флюида. Но при проведении математического моделирования — как для СFD-моделирования, так и для аналитических моделей — исследователям необходимы эмпирические зависимости, которые приближают результаты расчетов к действительности [3].

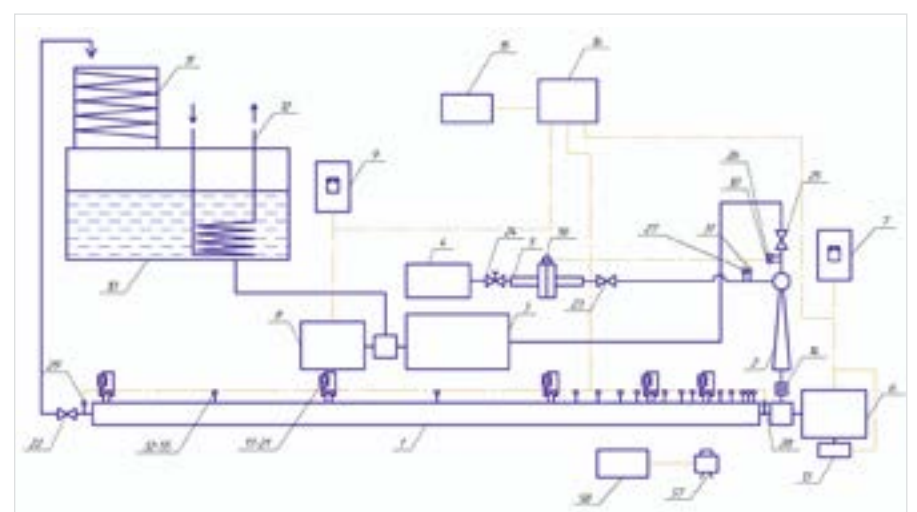
Для изучения параметров распределения давления и дисперсности газовых пузырьков в составе ГЖС по длине насоса определен подход физического моделирования процесса на экспериментальном стенде. Для этого на кафедре разработки и эксплуатации нефтяных месторождений спроектирован и создан стенд для исследования характеристик ПЭЦН на ГЖС с учетом замера давления и дисперсности газовой фазы по длине насоса. Также разработаны методика проведения исследований и методика обработки экспериментальных данных и проведены исследования в рамках диссертационной работы автора.

В этой статье представлена схема созданного стенда, методика проведения эксперимента и подход к определению КПД насоса.

#### Схема стенда

Разработанный стенд позволяет проводить исследования ПЭЦН на ГЖС при давлениях на входе в насос в интервале МПа, при частоте вращения вала в интервале  $f=30-60 \, \Gamma \mu$ . в качестве модельных газожидкостных смесей могут выступать смеси «вода - воздух», «вода – ПАВ – воздух», «масло – воздух». Исследование характеристик на модельных ГЖС обусловлено требованиями техники Рис. 2. Общий вид стенда безопасности и невозможностью проведения экспериментов на реальных углеводородных газах в лабораторных условиях. Однако такие ленных стендах [2].

Принципиальная схема созданного стенда для исследований характеристик ПЭЦН



1- исследуемый ПЭЦН; 2- ЖГЭ; 3- подпорный насос: 4 — компрессор: 5 — реометрический стенд; 6, 8 — двигатель; 7, 9 —  $4\Pi$ ; 10 — бак; гравитационный полочный сепаратор; 12 — проточный теплообменник; 13 — мотор-весы; 14 — смотровой модуль; 15, 58 — компьютер; 16 — ПЛК: 17-21 — смотровые ячейки: 22, 23. 25 — задвижка: 24 — редуктор: 26, 27 — датчик температуры: 28 — датчик давления на входе в ПЭЦН; 29 — датчик давления на выходе из ПЭЦН; 30 — датчик давления жидкости перед соплом ЖГЭ; 31 — датчик давления пассивного потока газа на приеме ЖГЭ: 32-55 — датчики давления по длине ПЭЦН: 56 — дифференциальный манометр: 57 — высокоскоростная камера.

1 - studied ESP: 2 - LGE: 3 - booster pumps compressor: 5 -6.8 - motor: 7.9 - variable frequency drive: 10 - tank: 11 – gravity shelf separator; 12 – flow heat exchanger; 15, 58 - computer; 16 - PLC; 17-21 - observation cells; 22, 23, 25 - valve; 24 - reducer; 26, 27 – temperature sensor: 28 – pressure sensor at the ESP intake: 29 - pressure sensor at the ESP outlet: - liquid pressure sensor in front of the nozzle LGE; 31 - pressure sensor of the passive gas flow at the LGE intake; 32-55 - pressure sensors along the ESP length: 56 - differential pressure gauge 57 - high-speed camera

Рис. 1. Схема стенда Fig. 1. Scheme of the Bench



Fig. 2. General view of the Bench

высокоскоростная камера, а также систе- по длине насоса при откачке ГЖС (рис. 3). исследования проводились на полупромыш- ма контрольно-измерительных приборов и Ближе к входу насоса датчики установлены

Для анализа распределения давления сор, система подачи воды и газа, задвижки, дования кривых распределения давления дисперсности.

более плотно, так как первые ступени наиболее сильно подвержены вредному влии дисперсности по длине насоса в корпусе янию свободного газа в перекачиваемой на ГЖС с учетом замера давления и дис- насоса и рабочих ступенях просверлены ГЖС. Пары ступеней — {9, 10}, {19, 20}, {37, персности газовой фазы по длине насоса отверстия под штуцера, к которым присо- 38}, {77, 78}, {117, 118} — соединены между представлена на рис. 1, фото стенда — на единяются датчики давления и смотровые собой через смотровые окошки для замера рис. 2. Основными элементами стенда явля- ячейки. Датчики давления установлены по дисперсности газовой фазы, то есть диамеются исследуемый насос ЭЦН5-50 (118 ступе- логарифмическому закону на {1, 2, 3, 5, 7, 9, тров газовых пузырьков, которые движутся ней радиального типа), жидкостно-газовый 10, 12, 14, 17, 19, 20, 22, 25, 29, 33, 37, 38, внутри насоса. На входе в насос установлен эжектор (ЖГЭ), подпорный насос, компрес- 58, 77, 78, 98, 117, 118} ступенях для иссле- проточный смотровой модуль для контроля

*50 51* ЭКСПОЗИЦИЯ НЕФТЬ ГАЗ ЛЕКАБРЬ 6 (79) 2020

#### Методика проведения эксперимента

с определенной конфигурацией проточной части: диаметр сопла  $D = \{2.0, 2.3, 2.6, 2.9,$ 3.2, 3.5, 3.8, 4.1, 4.7} мм, диаметр камеры смешения = {4.5, 7.1} мм. Пять сопел с наименьшим диаметром  $D_{a} = \{2.0, 2.3, 2.6, 2.9,$ 3.2 мм комплектуются с камерой смешения диаметром = 4.5 мм, длиной камерой смешения = 167 мм; остальные сопла  $D_{i}$  = {3.5, 3.8, 4.1, 4.7} мм устанавливаются вместе с камерой смешения диаметром = 7.1 мм, длиной камерой смешения = 340 мм. Выбор удлиненных камер смешения струйного аппарата обусловлен следующими причинами. Согласно [4], струя жидкости, сохраняя свою первоначальную форму, поступает в камеру смешения, где на расстоянии двух-трех диаметров камеры смешения от начала камеры смешения заполнена молочно-белой Fig. 3. Sensor positioning scheme водовоздушной эмульсией (пеной). У стенок водится в рамках данных исследований, так го эксперимента. как не является определяющим, но осуществляется контроль над тем, что давление ГЖС на выходе из ЖГЭ выше давления пассивного

Первым этапом исследования работы ПЭЦН на ГЖС является экспериментальное ПЭЦН на ГЖС является снятие характеристиопределение характеристик насоса на воде. ки при наличии свободного газа в потоке. Жилкость из бака 9 поступает в подпорный Задвижка 23 открывается, и от компрессора пьютер 15. В результате замеряется распренасос 3, который приводится в действие дви- 4 подается газ через реометрический стенд деление давления по длине насоса на ГЖС гателем 8 с частотным преобразователем 5, который по своей сути является расходо-(ЧП) 9. Далее жидкость с высоким давлением мером газа по перепаду давления на дианагнетается в сопло ЖГЭ 2. В это время газо- фрагме. Перепад давления замеряется диф- ряды давлений, которые впоследствии обвая линия закрыта задвижкой 23. Жидкость ференциальным манометром 56, а расход рабатываются. Далее аналогичным образом прокачивается через систему, постепенно за- газа регулируется редуктором 24. Расход входное объемное-расходное газосодержаполняет исследуемый насос 1. Когда жидкость газа в условиях диафрагмы  $Q_{\gamma}(P_{\alpha})$  опредение повышается до тех пор, пока давление полностью заполняет систему, то включается ляется по формуле (2), где коэффициенты А на выходе не станет меньше, чем давление асинхронный двигатель 6, управляемый ЧП и В предварительно экспериментально опре- на входе, либо пока насос не перестанет

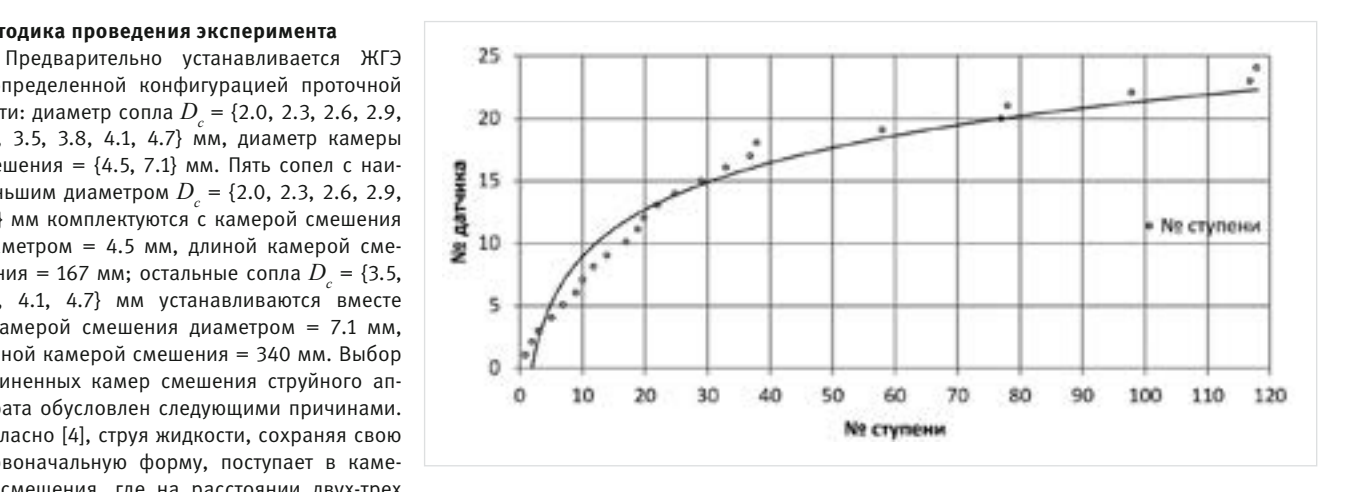


Рис. 3. Схема пасстановки датчиков давления по длине насоса

наблюдаются обратные токи. Это возврат-  $f = \{40, 50, 60\}$  Гц, что соответствует часто- расход газа пересчитывается к условиям у давления по длине камеры смешения. При 3 600 об/мин без учета скольжения. Затем (4), температура газа T принимается равной низких противодавлениях (в кавитационной поджимается задвижка 22 до тех пор, пока температуре жидкости  $T_{\infty}$  ввиду того, что теобласти работы ЖГЭ) основное повышение на входе в насос 1 не установится требуемое плоемкость воды намного больше теплоемкодавления происходит в диффузоре ЖГЭ. абсолютное давление = {0.6, 1.1, 2.1} МПа. сти воздуха. При подаче газа на входе в насос При увеличении противодавления на выхо- Устанавливается стабильный режим, который 1 растет давление ввиду увеличения объема де из ЖГЭ происходит более значительное отслеживается в режиме реального времени прокачиваемой смеси. Температура жидко-наблюдается скачок давления по длине ЖГЭ. на компьютере 15. Данный режим характе- °C во время проведения эксперимента при После него в проточной части ЖГЭ движется ризуется постоянными показаниями датчи- помощи проточного теплообменника 12, чене молочно-белая эмульсия, а ГЖС пузырько- ков давления на входе в насос 28, давления рез который прокачивается водопроводная вой структуры (вода с пузырьками газа). При на выходе из насоса 29, давления по длине холодная вода. Также делается допущение, дальнейшем увеличении противодавления на насоса  $P_{\cdot}$  32-55, давления активного потока что процесс изотермический, температура выходе из ЖГЭ скачок давления смещается к жидкости в сопло ЖГЭ 30, давления пассив- смеси не меняется от входа до выхода из насоплу и происходит «запирание» ЖГЭ, то есть ного (инжектируемого) потока газа на прие- соса 1, хотя на самом деле может повышаться газ перестает эжектироваться. В зависимости ме ЖГЭ 31, а также постоянным перепадом на 1-2 °C. Данный факт в конечном счете не от длины камеры в ЖГЭ может наблюдаться 3 давления на дифференциальном манометре влияет на качество расчета и получаемые ретипа режима течения [5]: 1 — ударный режим 56. Одновременно замеряется потребляемая зультаты. Чтобы поддержать давление на вхо-(недостаточная длина камеры смешения); мощность при помощи мотор-весов ориги- де в насос постоянным = {0.6, 1.1, 2.1} МПа, 2 — режим разрушения струи (оптимальная нальной конструкции 13, сигнал с которых одновременно уменьшается подача по жиддлина камеры смешения); 3 — режим раз- также передается в режиме реального вре- кости от подпорного насоса 3 при помощи рушения струи (чрезмерно большая длина мени. Сигналы датчиков обрабатываются ЧП 9. Так задается определенное значение камеры смешения). Третий режим характери- программируемым логическим контролле- входного объемно-расходного газосодержазуется несколько меньшим коэффициентом ром (ПЛК) 16, который передает результаты ния, определяемое по формуле (5). Аналополезного действия ЖГЭ в отличие от второ- замеров дальше на компьютер 15. В резуль- гично исследованию характеристики насоса го. Назначение ЖГЭ в схеме стенда — дис- тате замеряется распределение давления на воде устанавливается стабильный режим, пергирование и повышение давления ГЖС на по длине насоса на жидкости при заданном который отслеживается в режиме реальновходе в исследуемый ПЭЦН. Таким образом, диаметре сопла ЖГЭ. В течение нескольких го времени через инженерный интерфейс при проведении испытаний необходимо вы- минут записываются временные ряды давле- CoDeSys на компьютере 15. Данный режим полнение следующих условий: в ЖГЭ должно ний, которые впоследствии обрабатываются. характеризуется постоянными показаниями происходить полное смешение жидкости и Расход жидкости определяется по формуле датчиков давления на входе в насос 28, на выгаза, и на его выходе должна образовываться (1). Коэффициенты расхода используемых со-ходе из насоса 29, по длине насоса  $P_{i}$  32–55, стабильная пузырьковая структура ГЖС. Рас- пел  $C_c$  определялись предварительно путем давления активного потока жидкости в сопло пределение давления по длине ЖГЭ не про- постановки дополнительного калибровочно- ЖГЭ 30, давления пассивного потока газа на

$$Q_{\rm m} = C_c \cdot \frac{\pi D_c^2}{4} \cdot \sqrt{\frac{2(P_{\rm akt} - P_{\rm flac})}{\rho_{\rm m}}} \quad (1)$$

Вторым этапом исследования работы 7. Частота тока двигателя 6 устанавливается деляются для каждой диафрагмы, а затем стабильно работать, что характеризуется

приеме ЖГЭ 31, а также дифференциального манометра 56, соответственно и постоянным  $Q_{\mathrm{ж}} = C_c \cdot \frac{\pi D_c^2}{4} \cdot \sqrt{\frac{2(P_{\mathrm{akt}} - P_{\mathrm{flac}})}{\rho_{\mathrm{ж}}}}$  (1) манометра 36, соответственно и постоянным значением входного объемно-расходного газосодержания. Также замеряется потрегазосодержания. бляемая насосом мощность. Сигналы датчиков обрабатываются программируемым логическим контроллером (ПЛК) 16, который передает результаты замеров дальше на компри заданном диаметре сопла ЖГЭ. В течение нескольких минут записываются временные

повышением вибрации, а также волнообразным изменением давления во времени. Та- тым, то есть жидкость после прохождения че ким образом, снимается напорно-расходная рез насос 1 поступает в бак 10, для отделения

$$Q_{\rm r}(P_{\rm H}) = A \cdot \Delta P_{\rm диф}^{B} \cdot \left(\frac{P_{\rm aTM}}{P_{\rm диаф}}\right)^{0.5} \tag{2}$$

$$Q_{\rm r}(P_{\rm Hac}) = Q_{\rm r}(P_{\rm H}) \cdot \frac{P_{\rm диаф}}{P_{\rm Hac}} \tag{3}$$

$$Q_{\Gamma}(P_{\text{BX}}) = Q_{\Gamma}(P_{\text{Hac}}) \cdot \frac{P_{\text{Hac}}}{P_{\text{BX}}} \cdot \frac{T_{\text{K}}}{T_{\Gamma}}$$
 (4)

$$\beta_{\rm BX} = \frac{Q_{\rm r}(P_{\rm BX})}{Q_{\rm r}(P_{\rm BX}) + Q_{\rm w}} \tag{5}$$

Помимо снятия характеристик ПЭЦН и распределения давления по длине насоса 1. стенд позволяет определять изменение дисперсности по длине исследуемого ПЭЦН 1. На ся завышенное значение потребляемой насотребуемых режимах происходит видеофиксация с помощью высокоскоростной камеры 57 Phantom Miro eX4 [7], которая управляется компьютером 58, куда сохраняются снятые видеофайлы. Контроль дисперсности газовой фазы (то есть диаметра газового пузырька) осуществляется на входе в насос 1. через смотровой модуль 14, а также через смотровые ячейки 17-21. Смотровые ячейки спроектированы таким образом, что выдерживают давление ГЖС до 12 МПа. При прохождении ГЖС через насос из ступени с большим порядковым номером  $P_i$  часть объема смеси возвращается в ступень с меньшим порядковым номером  $P_{i-1}$ . При обработке данных по дисперсности газовой фазы смеси нами сделаны допущения: диаметр пузырька газа  $_{2}$  регистрирует показания силы F и передает не меняется по сравнению с диаметром внутри ступени, а его давление  $P_{_{\!\!\!\!\! m}}$  рассчитывается как среднее давление между ступенями (6); пузырьки газа сохраняют свои размер мой мощности. Ниже рассмотрим подробнее и форму при попадании в смотровую ячейку из рабочего колеса ПЭЦН. В дальнейшем ГЖС. полученные видеофайлы обрабатываются в специальной программе, определяется ожидаемый диаметр газового пузырька при заданных условиях работы ПЭЦН.

$$P_{\Pi} = \frac{P_i + P_{i-1}}{2} \tag{6}$$

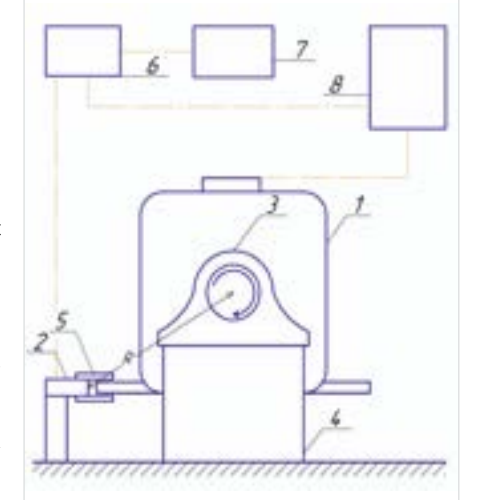
Цикл испытаний ПЭЦН является замкнужидкости от газа используется гравитационный полочный сепаратор 11.

### Определение коэффициента полезного действия насоса

Одной из задач данного стенда является определение энергетических характеристик ПЭЦН, а именно потребляемой мощности и КПД насоса  $\eta$ . Зачастую при тестировании ПЭЦН потребляемая мощность замеряется ЧП, что не совсем корректно, так как ЧП замеряется полная электрическая мощность. Данная мощность состоит из активной и реактивной составляющих, а активная составляющая расходуется непосредственно на насос, а также на потери мощности в двигателе, питающем кабеле и др. Таким образом, получаетсом мощности и соответственно заниженное значение КПД.

Для минимизации ошибки в определении разработана оригинальная конструкция мотор-весов на основе [8] (рис. 4). Стандартный асинхронный двигатель 1 модернизирован путем установки двух опорных подшипников вращения 3 на его вал сзади и рядом с полумуфтой. Подшипники установлены на станину 4, к которой жестко закреплен ПЭЦН. Так, при запуске двигателя ЧП 8, двигатель стремится вращаться из-за создаваемого момента. При отклонении двигателя от горизонтального положения он начинает давить с некоторой силой F на упорные пластины 5 тензометрического датчика 2. Соответственно тензодатчик их на ПЛК 6, с которого данные впоследствии транслируются на компьютер 7. Таким образом, реализован прямой замер потребляеметодику расчета КПД ПЭЦН при работе на

Как известно, работа асинхронного двивращения ротора и изменения переменного магнитного потока, создаваемого обмотками статора двигателя переменного тока, причем эта разность меняется в зависимости от нагрузки на двигатель, то есть от создаваемого



1 — двигатель: 2 — тензометрический датчик; 3 — опорный подшипник; 4 — станина; 5— упорные пластины; 6— ПЛК; 7— компью-

1 - motor: 2 - tenzometric sensor: 3 - support bearing; 4 - frame; 5 - thrust plates; 6 - PLC; 7 – computer; 8 – VFD

Рис. 4. Схема мотор-весов Fig. 4. Scheme of motor-weights

момента. Для используемого электродвигателя экспериментально была определена фактическая частота врашения вала двигателя при помощи лазерного тахометра. Зависимость фактической частоты вращения вала двигателя от момента вращения при различных частотах тока  $f = \{30, 40, 50, 60\}$  Гц (рис. 5).

Коэффициент полезного действия определяется как отношение полезно использованной мощности к потребляемой мощности

$$\eta = \frac{N_{\text{пол}}}{N_{\text{потр}}} \tag{7}$$

Потребляемая мощность исследуемого ПЭЦН рассчитывается по выражению (8). Момент вращения M находится через замеренную силу F при помощи тензодатчика и радиус вращения R по формуле (9). Число оборотов двигателя n=n(M) определяется исходя из найденного момента М с учетом экспериментально полученных зависимостей (рис. 5). Ввиду того, что исследуемый ПЭЦН соединен с валом двигателя через приемный модуль, часть потребляемой мощности расходуется на вращение элементов приемного модуля. Предварительно была получена эмпирическая зависимость мощности холостого хода от частоты (работа двигателя без насоса, но с приемным модулем). Таким образом, для определения потребляемой мощности используется фор-

$$N_{\text{norp}} = M \cdot \omega = \frac{2\pi \cdot M \cdot n}{60} \tag{8}$$

$$M = F \cdot R \tag{9}$$

$$N_{\text{norp}} = \frac{2\pi \cdot (F \cdot R - M_{xx}) \cdot n(M)}{60}$$
(10)

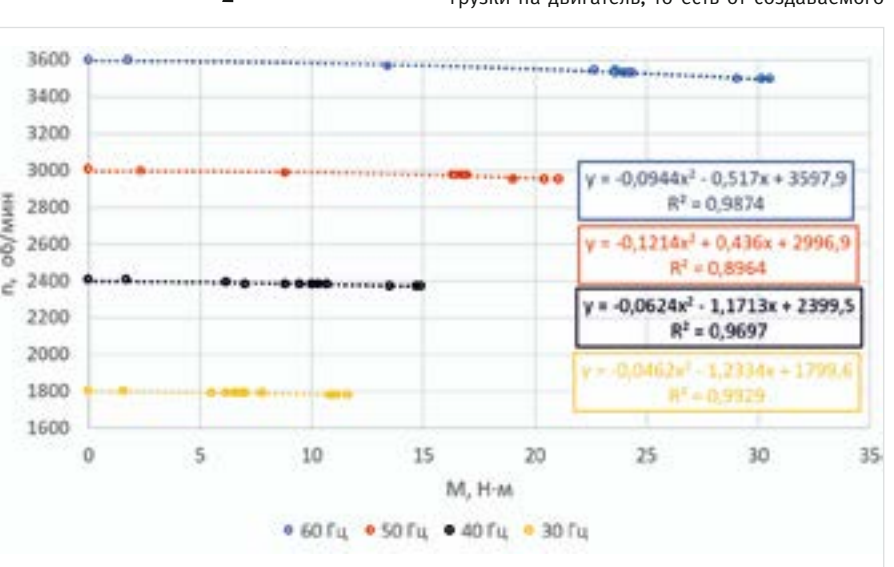


Рис. 5. Зависимость числа оборотов двигателя от момента вращения Fig 5. Dependence of engine speed on torque

*52* ЭКСПОЗИЦИЯ НЕФТЬ ГАЗ ДЕКАБРЬ 6 (79) 2020

Полезная мошность гидравлической машины определяется выражением (11). Ввиду того, что исследуемый ПЭЦН перекачивает ГЖС, также необходимо учитывать изменение плотности перекачиваемой среды с ростом давления [1]. Среднеинтегральная подача насоса [1] определяется выражением (12). Так как процесс перекачки ГЖС принимается изотермическим, то выражение (12) легко преобразовать в (13). Таким образом, полезная мощность определяется выражением (14). Путем подстановки выражений (10) и Итоги (14) в (7) находится коэффициент полезного На сегодняшний день проведен полный цикл лействия насоса п.

$$N_{\text{пол}} = Q \cdot (P_{\text{вых}} - P_{\text{вх}}) \qquad (11)$$

$$Q = Q_{\rm cp} = Q_{\rm w} + \frac{1}{P_{\rm BbIX} - P_{\rm BX}} \times$$

$$\times \int_{P_{\rm BX}} Q_{\rm r}(P) dP$$
(1)

# Условные обозначения

ГЖС — газожидкостная смесь ПЭЦН – погружной электроцентробежный

насос — жидкостно-газовый эжектор

ЧП — частотный преобразователь

КПД – коэффициент полезного действия

pump when operating wells with low

2. Minigazimov M.G., Sharipov A.G., Research

of gas influence on operation of the electric

engineering, 1968, issue 7. P. 34-38. (In Russ).

submersible pump ESP5-80-800. Oilfield

pressures at the pump inlet. Moscow, 1982,

 ${
m CFD}~-$  computational fluid dynamics (вычис- nлительная гидродинамика)

PVT - Pressure, Volume, Temperature  $D_{c}$  — диаметр сопла, мм

 $\times \frac{P_{\text{\tiny BX}}}{P_{\text{\tiny Bix}}} P_{\text{\tiny BX}} \cdot ln \frac{P_{\text{\tiny Bix}}}{P_{\text{\tiny BX}}}$ 

$$N_{\text{пол}} = \left(Q_{\text{ж}} + Q_{\Gamma}(P_{\text{BX}}) \times \frac{P_{\text{BX}}}{P_{\text{BbIX}} P_{\text{BX}}} \cdot ln \frac{P_{\text{BbIX}}}{P_{\text{BX}}}\right) \cdot \left(P_{\text{BbIX}} - P_{\text{BX}}\right)^{(14)}$$

исследований напорно-расходных и энергетических характеристик насоса ЭЦН5-50 (118 ступеней радиального типа) при частоте тока двигателя f = {40, 50, 60} Гц и абсолютном давлении на входе в насос = {0.6, 1.1, 2.1} МПа на модельных ГЖС «вода – воздух», «вода – ПАВ - воздух». Смесь «вода - воздух» моделирует высокообводненную скважинную продукцию с низкой пенообразующей способностью, а ГЖС «вода - ПАВ - воздух» используется для моделирования низкообводненной маловязкой скважинной продукции с высокой пенообразующей способностью [1]. Результаты проведенных

— диаметр камеры смешения, мм

— давление на входе в ПЭЦН, МПа

— давление на выходе из ПЭЦН, МПа

— давление газового пузырька, МПа

— давление в і-ой ступени ПЭЦН, МПа

— частота вращения вала ПЭЦН, об/мин

— коэффициент расхода сопла, д.ед

, — потребляемая мощность ПЭЦН, кВт

длина камеры смешения, мм

— частота тока, Гц

расход жидкости, м3/сут

экспериментальных исследований будут представлены в дальнейших работах автора.

Созданный стенд позволяет исследовать работу ПЭЦН на ГЖС в широком диапазоне частот вращения вала и давлений на входе в насос. Разработанный стенд отличается оригинальностью:

- работа с избыточным давлением на входе в ПЭЦН вплоть до 3.0 МПа при частотах вращения вала до 3 600 об/мин;
- съемка газовых пузырьков в потоке ГЖС по длине ПЭЦН в любой точке напорно-расходной характеристики, а не только в режиме нулевого напора (режим работы ПЭЦН, при котором развиваемое насосом давление равно нулю);
- прямой замер потребляемой насосом мошности:
- регистрация распределения давления по длине насоса.

В дополнение к ГОСТ [9], созданный стенд позволяет проводить уникальные исследования ПЭЦН, которые являются актуальными при эксплуатации нефтяных механизированных скважин.

 $N_{\rm max}$  — полезная мощность ПЭЦН, кВт

плотность жидкости, кг/м³

 $\hat{Q}_{cn}$  — среднеинтегральная подача насоса,  $M^3/CVT$ 

— сила воздействия двигателя на тензо датчик. Н

радиус вращения двигателя, м

 $\omega$  — угловая скорость вращения вала, рад/с

M — момент вращения, Н·м  $M_{\rm sc}$  — момент холостого хода, Н $\cdot$ м

 $\eta = \text{КПД насоса, } \%$ 

### ENGLISH

For today the full cycle of researches of head and energy characteristics of stand is notable for its originality: pump ESP5-50 (118 stages of radial type) at frequency of a current of the motor • Operation with pressure at the ESP intake up to 3.0 MPa and at shaft  $f = \{40, 50, 60\}$  Hz and absolute pressure at pump intake P\_in=  $\{0.6, 1.1, 2.1\}$ MPa on model gas-liquid mixture "water – air", "water – surfactant –air" has • Shooting of gas bubbles in the gas-liquid mixture flow along the ESP been carried out. The mixture "water – air" simulates highly watercut low-foamforming well products, and "water – surfactant – air" is used for modeling lowwatercut low-viscosity well products with high foaming capacity [1]. The results of the experimental studies will be presented in further works of the author.

#### Conclusions

212 p. (In Russ).

in a wide range of shaft speed and pressure at the pump intake. The developed

- speeds up to 3 600 rpm:
- length at any point of characteristic, not only in the zero head mode (ESP operation mode, when the pressure developed by the pump is equal to zero);
- direct measurement of power consumption by the pump:
- recording of pressure distribution along the pump length.

In addition to GOST [9], the stand allows to conduct unique studies of ESP The created stand allows to study the ESP unit operation on gas-liquid mixture installations, which are relevant for operation of oil mechanical wells.

- 3. Litvinenko K.V. Prediction of the ESP Reference 1. Drozdov A.N. Development of a technical state in the conditions of the intensive mechanical impurities removal. methodology for calculating the characteristics of a submersible centrifugal Ufa: USPTU, 2016, 22 p. (In Russ).
  - 4. Sokolov E.Ya., Singer N.M. Jet devices. Moscow, Energoatomizdat, 1989, 352 p. (In Russ).
  - 5. Cunningham R.G., Dopkin R.J. Jet Breakup and mixing throat lengths for the liquid jet gas pump. Journal of Fluids Engineering, 1974, Vol. 96, issue 3, P. 216–226.
- ISSN 0098-2202.
- 6. CODESYS programming environment. URL: https://owen.ru/product/codesys\_v3
- 7. Docummentation. Software. URL: https:// www.phantomhs.ru/doc/
- 8. Yaremenko O.V. Tests of pumps: the reference. Moscow: Mashinostroenie, 1976, 225 p. (In Russ)
- 9. GOST ISO 9906-2015 Rotodynamic pumps. Hydraulic performance acceptance test. Grades 1, 2 and 3.

### ИНФОРМАЦИЯ ОБ ABTOPAX | INFORMATION ABOUT THE AUTHORS

Горидько Кирилл Александрович, аспирант кафедры «Разработка и эксплуатация нефтяных месторождений», РГУ нефти и газа (НИУ) имени И.М. Губкина, Москва, Россия Для контактов: Goridko.ka@gubkin.ru

Goridko Kirill Aleksandrovich, Ph.D. student of Petroleum Reservoir and Production Engineering Department, Gubkin University, Moscow,

Corresponding author: Goridko.ka@gubkin.ru

*55 5*4 ЭКСПОЗИЦИЯ НЕФТЬ ГАЗ ДЕКАБРЬ 6 (79) 2020